

¹**О.С. Пузік, асп.****М.М. Глазков, к.т.н., проф.****В.Г. Ланецький, к.т.н., доц.****Г.Й. Зайончковський, д.т.н., проф.****Т.В. Тарасенко, к.т.н., доц.**

ГІДРОДИНАМІЧНІ ХАРАКТЕРИСТИКИ ФУНКЦІОНАЛЬНИХ КАВІТАЦІЙНИХ ПРИСТРОЇВ

Національний авіаційний університет

¹E-mail: oleksii.puzik@gmail.com²E-mail: nauggs18@ukr.net

За експериментальними даними побудовано залежності, які дають змогу отримати відомості щодо пропускної спроможності отворів і насадків для застосування в арматуробудуванні. Запропонований кавітаційний підхід дозволяє визначати коефіцієнт стискання за побудованими витратними характеристиками.

Ключові слова: дросель, кавітаційне витікання, коефіцієнти витрати, насадок.

Постановка проблеми

Циркулювання робочих рідин у паливній і гіdraulічній системах повітряних суден у багатьох випадках є витіканням палива, мастила чи масла через отвори та насадки.

З погляду діагностування властивостей дросельних пристройів приділяють увагу швидкості витікання й витраті рідини.

Функціональні кавітаційні пристрої використовують для змішування різнорідних рідин, визначення вмісту води в паливі, очищення поверхонь тощо.

Таким чином, для діагностування робочих рідин паливних і гіdraulічних систем повітряних суден функціональний ефект кавітації може бути реалізовано на основі використання існуючих дросельних пристройів різного типу.

Аналіз публікацій

Гідродинамічні характеристики в наукових працях [1; 2] зазвичай будувалися переважно для помірних типів витікання. Різні типи насадків повністю не досліджувалися, розроблялися циліндричний та конфузорний типи з видозмінами.

У працях [3; 4] більше значення приділялося вивченню кавітації. Критичні параметри завжди прив'язані до критерію Рейнольдса та критерію кавітації, наприклад, критерію Ейлера.

Для коректного функціонального застосування, тобто для виявлення функції, яку найуспішніше реалізовуватиме дросельний пристрой, необхідно визначити його критичні параметри щодо критерію Рейнольдса.

Мета роботи – розрахувати й обґрунтувати на підході, що враховує особливості кавітаційних режимів, гідродинамічні характеристики дросельних пристройів.

Аналіз експериментальних залежностей

Для вибору насадків з урахуванням того, що підхід до вирішення завдань враховує особливості кавітаційних режимів, побудовані витратно-перепадні характеристики, які свідчать про ефективність дроселів як кавітаційних пристройів.

Узагальнені витратно-перепадні характеристики типових дроселів будують у координатах, тобто як базові кавітаційні пристрої в техніці використовують звичайні дроселі, враховуючи критерій Ейлера (рис. 1).

У праці [1] виділено коноїдальний насадок (сопло), який окреслюється приблизно за формою стискуваного струменя.

Завдяки цьому забезпечується безвідривність протікання в насадку та паралельність струменів у вихідному перерізі.

Нерідко застосовується сопло, оскільки має:

- коефіцієнт витрати близький до одиниці;
- малі втрати;
- коефіцієнт стискання $e = 1$;
- стійкий режим витікання без кавітації.

Дифузорний насадок – це комбінація сопла і дифузора, додавання якого зумовлює зниження тиску у вузькому місці насадка, а отже, збільшення швидкості й витрати крізь насадок.

За однакових умов (діаметрі горловини, напор) дифузорний насадок забезпечує витрату у 2,5 рази більшу за сопло.

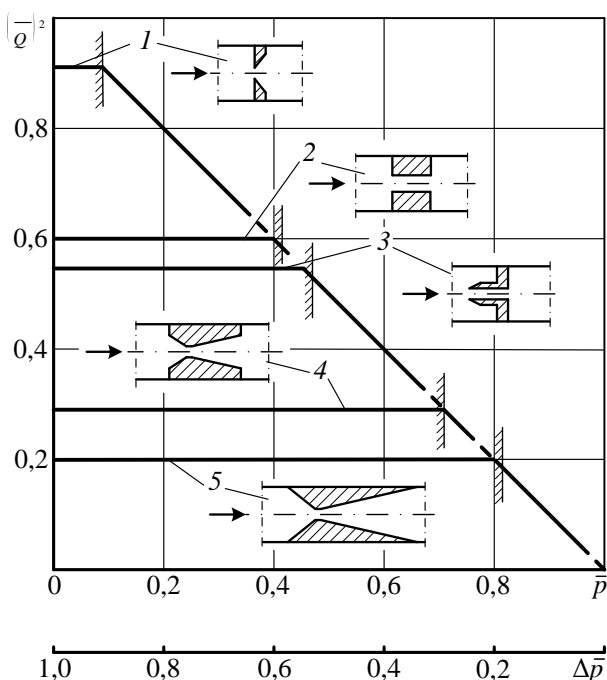


Рис. 1. Витратно-перепадні характеристики дросельних пристройів різної геометрії для $Re \geq 10^4$:

- 1 – діафрагма;
- 2 – циліндричний насадок Вентурі;
- 3 – насадок Борда;
- 4 – конфузорно-дифузорний скорочений насадок;
- 5 – конфузорно-дифузорний насадок типу трубки Вентурі

Сопло і дифузорний насадок застосовують при заданих діаметрі горловини і напорі та необхідності отримати більшу витрату. Але застосування дифузорного насадка можливе при відносно

невеликому напорі, інакше виникає кавітація, що збільшує опір і зменшує пропускну спроможність.

Аналіз рис. 1 показує, що в разі зменшення протитиску \bar{p} збільшується перепад тиску Δp . Кавітація наступає раніше в насадку конфузорно-дифузорного типу 5, потім у насадку Борда 4, далі – в інших 3, 2, 1.

Таким чином, насадки конфузорно-дифузорного типу дають змогу перетворювати більшу частину енергії потоку в кавітаційні коливання.

Найнижчу кавітаційну спроможність має діафрагма 1, оскільки кавітація в ній наступає при найбільших значеннях перепаду тиску.

Для підвищення ефективності роботи конфузорно-дифузорних насадків останні виконують короткими з характерним «ступеневим» переходом від дифузору до трубопроводу, під час обтікання якого рідиною утворюються вихрові структури.

Криві на рис. 2 показують, що в зоні досліджуваних високих чисел Рейнольдса коефіцієнти витрати поступово зростають зі збільшенням напору до появи кавітації і стабілізуються зі збільшенням Re .

Збільшення діаметра циліндричного насадку на 95, 140, 220 % майже не впливало на значення витратних коефіцієнтів.

Коефіцієнт ε зі збільшенням числа Re зменшується. Це відбувається внаслідок зменшення гальмування швидкості на краю отвору.

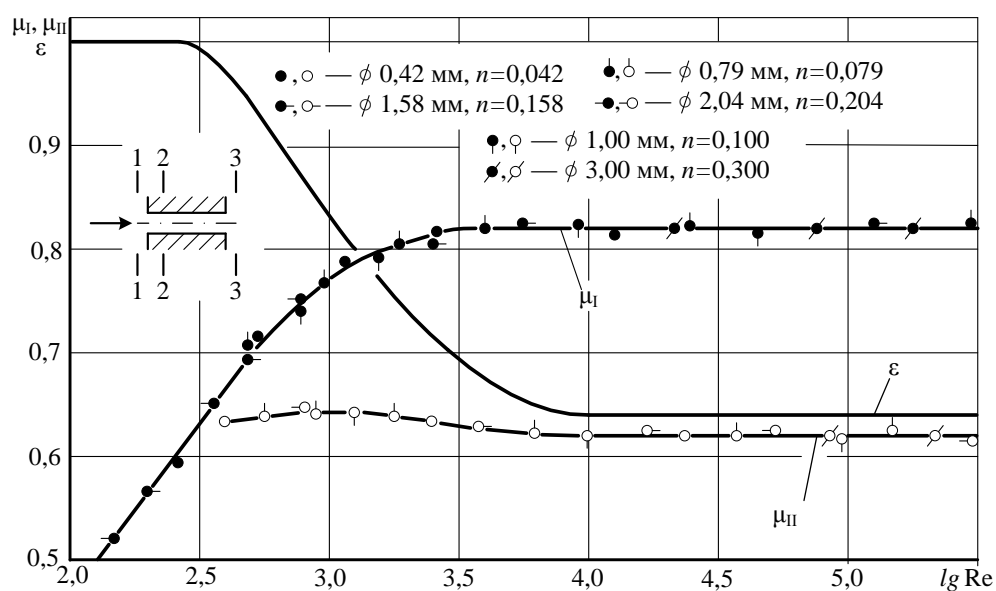


Рис. 2. Залежність коефіцієнтів μ_I , μ_{II} , ε циліндричного насадка Вентурі різного діаметра від Re

Для дросельних пристройів із відомими безрозмірними коефіцієнтами ε , ζ , λ отримано аналітичні залежності розрахунку критичних параметрів витікання:

– для діафрагми, встановленої в трубі постійного перерізу:

$$\bar{p} = \frac{2n\varepsilon \zeta - n\varepsilon}{1 + \zeta_{t,ct} - n^2\varepsilon^2} \frac{\lambda}{d}$$

або

$$\bar{p} = \frac{2n\varepsilon \zeta - n\varepsilon}{1 + \zeta_{t,ct}},$$

якщо $d_{dp} \ll d_{tp}$,

де d_{tp} – діаметр трубопроводу;

– для циліндричного насадка:

$$\bar{p} = \frac{2\varepsilon \zeta - n\varepsilon}{1 + \zeta_{t,ct}};$$

– для конфузорно-дифузорного насадка

$$\bar{p} = \frac{1 - \zeta_{dif}}{1 + \zeta_{t,ct}}.$$

Криві μ_I на рис. 3, 4 відповідають режиму витікання без кавітації і розраховані за перепадом тиску на зразі насадків. Криві μ_{II} відповідають режиму витікання з кавітацією і розраховані за перепадом тиску, що дорівнює абсолютному тиску на вході в насадок.

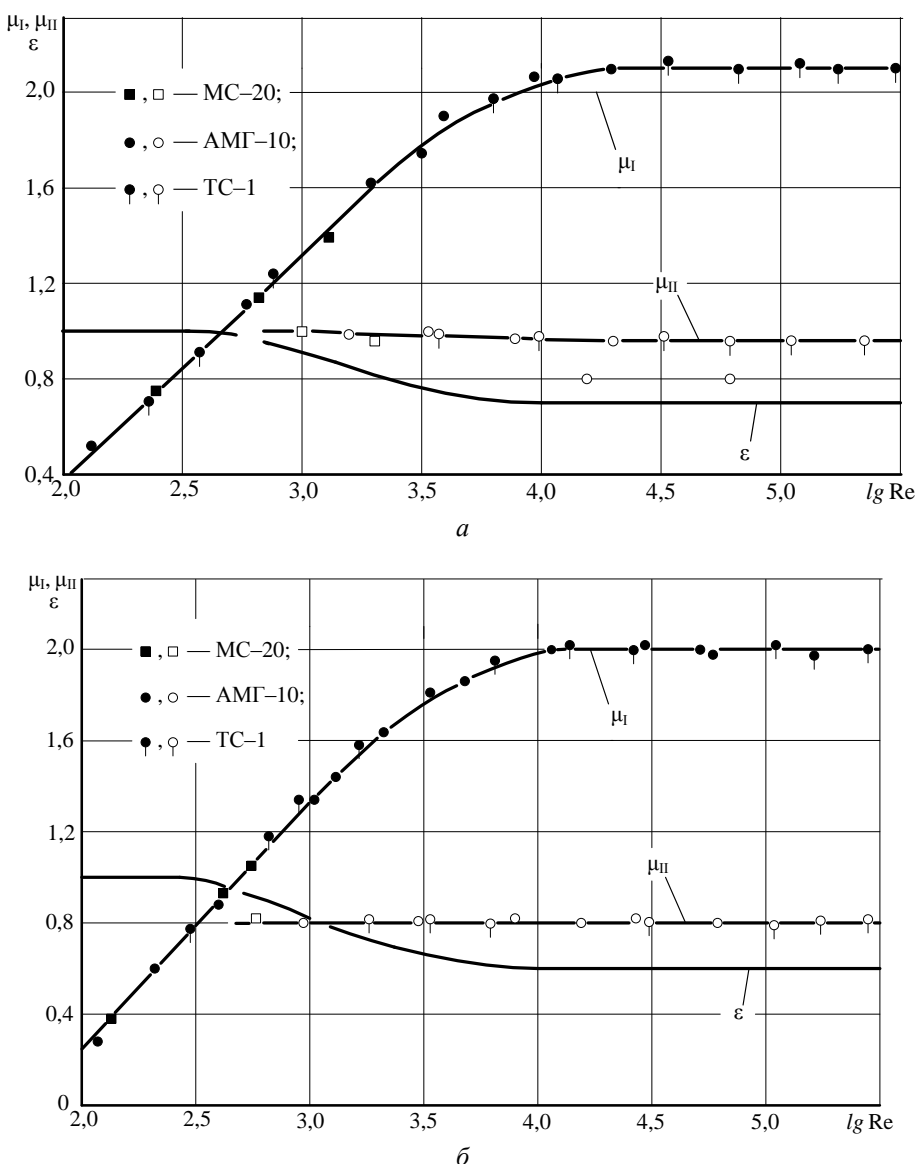


Рис. 3. Залежність коефіцієнтів μ_I , μ_{II} , ε конфузорно-дифузорного насадка від Re :

a: $\alpha_{кон}=25^\circ$, $\alpha_{диф}=9^\circ$, $d=1,58$ мм; $n=d/D=1,58/10=0,158$;

b: $\alpha_{кон}=45^\circ$, $\alpha_{диф}=9^\circ$, $d=1,56$ мм; $n=d/D=1,56/10=0,156$

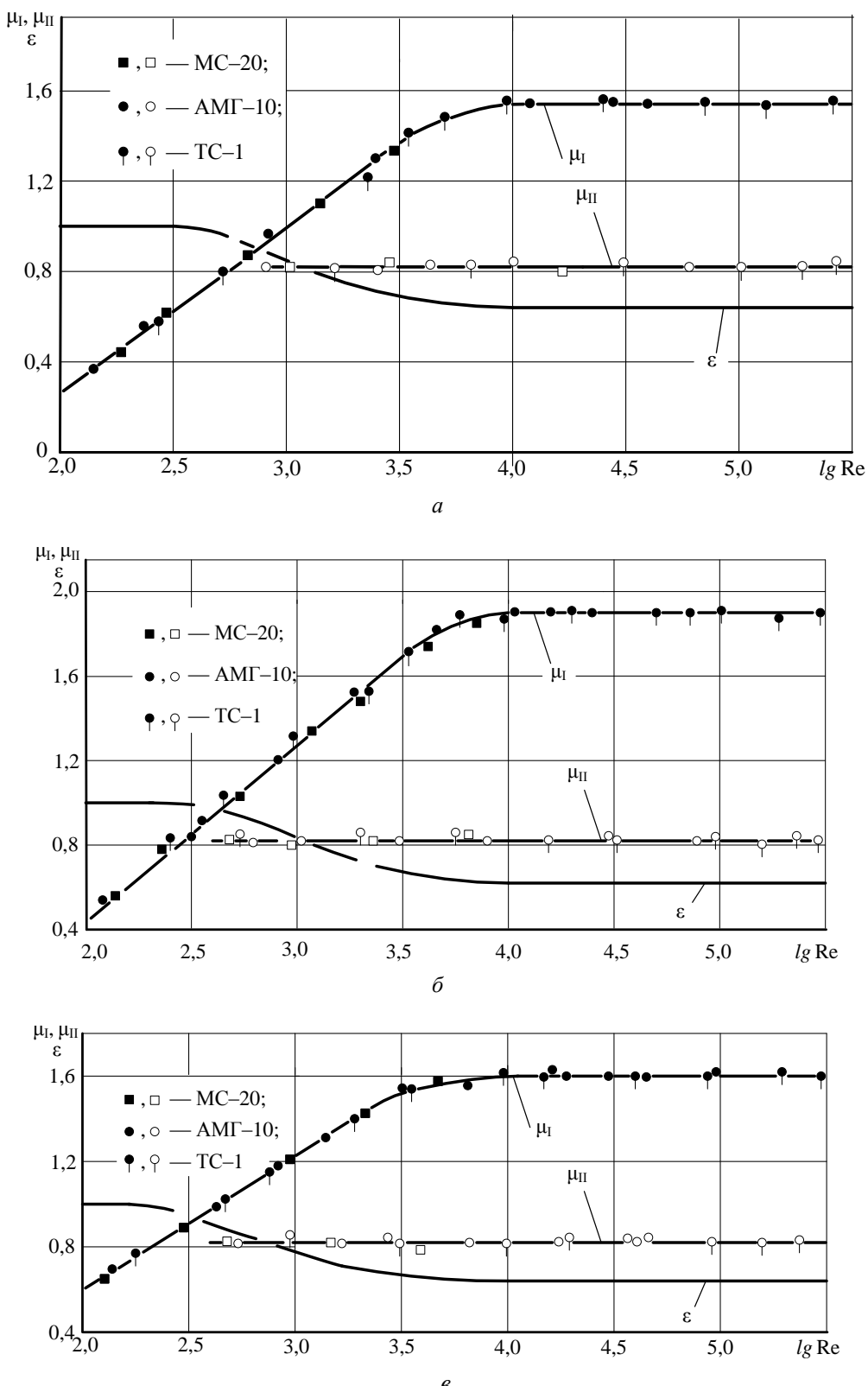


Рис. 4. Залежність коефіцієнтів μ_I , μ_{II} , ε конфузорно-дифузорного насадка від Re при $\alpha_{\text{кон}}=60^\circ$:
 a : $\alpha_{\text{диф}}=3^\circ$, $d=1,58 \text{ мм}$; $n=d/D=1,58/10=0,158$;
 b : $\alpha_{\text{диф}}=11^\circ$, $d=1,56 \text{ мм}$; $n=d/D=1,56/10=0,156$;
 c : $\alpha_{\text{диф}}=13^\circ$, $d=1,56 \text{ мм}$; $n=d/D=1,56/10=0,156$

У розглядуваному випадку для відомої геометрії дросельних пристрій і відомих тисків на вході та виході визначають теоретичну швидкість витікання рідини й відповідне число Рейнольдса.

Унаслідок сумісного розв'язання рівнянь Бернуллі та витрати отримані аналітичні залежності для критичних параметрів витікання рідини

$$\bar{p}_{kp} = \left(\frac{p_{vih}}{p_{vx}} \right)_{kp} = 1 - \left(1 - \frac{p_{kav}}{p_{vx}} \right) \left(\frac{\mu_{II}}{\mu_I} \right)^2; \quad (1)$$

$$\overline{\Delta p}_{kp} = \left(\frac{\Delta p}{p_{vx}} \right)_{kp} = \left(1 - \frac{p_{kav}}{p_{vx}} \right) \left(\frac{\mu_{II}}{\mu_I} \right)^2, \quad (2)$$

де \bar{p}_{kp} , $\overline{\Delta p}_{kp}$ – критичний протитиск і критичний перепад тиску відповідно;

p_{kav} – тиск у стиснутому перерізі потоку, за якого виникає кавітація;

p_{vx} , p_{vih} – тиск на вході й виході з дросельного пристрою відповідно.

Із залежностей (1), (2) розраховують коефіцієнти витрати μ_I та μ_{II} [5]. Коефіцієнт стискання є визначають за формулою [6]

$$\bar{p} = \frac{2}{2 + \left(\frac{1}{\mu_I} \right)^2 - \left(\frac{1}{\mu_{II}} \right)^2}.$$

Коефіцієнт стискання є асимптотично наближається до значення 0,61 (рис. 3, 4), що відповідає витіканню ідеальної рідини. На плавність кривої та інтенсивність прямування є до значення 0,61 незначно впливає кут конфузора – чим більший кут, тим інтенсивніше процес.

Отже, схильність до кавітації збільшується зі збільшенням кута конфузора. Якщо кут 60° , умови значно кращі, ніж за 25° і 45° . Кут дифузора і незначні зміни діаметра горловини впливають на процес вихреутворення менше.

Висновки

1. Експериментально отримані значення гідродинамічних коефіцієнтів витікання дають можливість розраховувати витратну спроможність

дроселів, що використовуються як функціональні кавітаційні пристрої. Зона стабільних значень коефіцієнтів витікання (режим автомодельності) відповідає числом Рейнольдса в діапазоні $Re \geq 10^4$.

2. Характерною особливістю кавітаційного витікання рідини є те, що витрата рідини крізь дросельні пристрої стабілізується з початком критичного перепаду тиску в разі постійного тиску живлення.

3. Запропоновано залежності для визначення критичних параметрів витікання \bar{p}_{kp} , $\overline{\Delta p}_{kp}$ і коефіцієнта стискання є за значеннями коефіцієнтів витрати μ_I , μ_{II} .

4. Запропоновано розрахункові залежності для визначення критичних параметрів витікання для \bar{p}_{kp} , $\overline{\Delta p}_{kp}$ за значеннями коефіцієнта стискання струменя є і коефіцієнта ζ дроселя.

Література

- Некрасов Б.Б. Гидравлика и ее применение на летательных аппаратах / Б.Б. Некрасов. – М.: Машиностроение, 1967. – 368 с.
- Федоткин И.М. Кавитация, кавитационная техника и технология, их использование в промышленности / И.М. Федоткин, И.С. Гулый. – К.: Полиграфкнига, 1997. – 840 с.
- Глазков М.М. Кавитация в жидкостных системах воздушных судов: учебное пособие / М.М. Глазков, В.Г. Ланецкий. – К.: КИИГА, 1987. – 64 с.
- Альтшуль А.Д. Гидравлические сопротивления / А.Д. Альтшуль. – М.: Недра, 1982. – 224 с.
- Гідрогазотермодинаміка: навч. посіб. / В.М. Бадах, М.М. Глазков, Ю.С. Головко та ін.; за ред. Г.Й. Зайончковського. – К.: НАУ-друк, 2009. – 352 с.
- Патент України на корисну модель № 43544 Кавітаційний спосіб визначення коефіцієнтів стиснення і швидкості струменя рідини при витіканні крізь отвори і насадки / М.М. Глазков, В.Г. Ланецький. – Від 25.08.09. Бюл. № 16.